

КОМПАКТНАЯ РАЗНОСТНАЯ СХЕМА ДЛЯ УРАВНЕНИЯ ПУАССОНА С РАЗРЫВНЫМ КОЭФФИЦИЕНТОМ

Д.А. Шадрин

НИУ ВШЭ, факультет математики и
Гидрометцентр РФ

Аннотация. Компактная разностная схема 3-го порядка дает высокую точность вычислений при относительно небольшом числе арифметических действий. После экстраполяции Ричардсона порядок возрастает до 4,8

Введение. Во многих моделях используют ур. Пуассона:

$$\operatorname{div}(\mathcal{A}(\bar{x})\operatorname{grad}(U(\bar{x}))) = f(\bar{x}), \quad (1)$$

где U – неизвестная функция, \bar{x} – координата на области решения, $f(\bar{x})$ – заданная правая часть. Рассматривается случай, когда коэффициент $\mathcal{A}(\bar{x})$ имеет скачок (область заполнена двумя разными материалами) Рассмотрен простейший случай двумерной задачи: область решения – поверхность цилиндра длины $2L_x$, x вдоль образующей, y – вдоль окружности (см. Рис. 1),

$$\mathcal{A}(x, y) = \begin{cases} \mathcal{A}_- & x < 0 \\ \mathcal{A}_+ & x \geq 0 \end{cases}.$$

На границе цилиндра ставятся условия Дирихле:

$$u(-L_x, y) = 1, \quad u(-L_x, y) = 1. \quad (2)$$

На линии стыка Γ – стыковочные (непрерывность и решения и потока вдоль нормали к линии Γ): $u(-0, y) = u(+0, y)$, $\mathcal{A}_- \partial_x u(-0, y) = \mathcal{A}_+ \partial_x u(+0, y)$. (3)

Решение этой задачи для тонкого стержня см. [1].

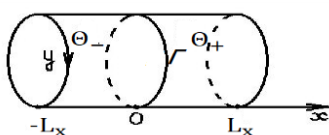


Рис.1. Область решения; $x \in [-L_x, L_x]$, $y \in [0, L_y]$

Аппроксимация. Цилиндр разбивается равномерной сеткой: $N+1$ узел на образующей, N узлов на окружности. Для каждой точки сетки x_{ij} подбираем пары разностных операторов A и P , на шаблонах из κ_A и κ_P точек сетки вокруг x_{ij} – для решения и для правой части. Операторы A и P должны быть точны на парах тестовых функций u_k, f_k , $k=1, \dots, K = \kappa_A + \kappa_P - 1$; u_k могут терпеть излом на Γ , f_k получаем подстановкой u_k в (1-3). Из коэффициентов A и P для каждой точки x_{ij} составляется «глобальная» СЛАУ: $M_A U = M_P F$. Строки матриц M_A и M_P составлены из коэффициентов операторов A и P для соответствующих точек или из граничных условий для

(1); U и F – значения функций u и f на сетке. Матрица $\Omega = M_F^{-1} M_A$ приближает дифференциальный оператор с отрицательным спектром. Требуем это от Ω . Подробнее про компактные схемы см. [2]

Шаблоны для точек сетки. Для компактной схемы используем 3 вида шаблонов: для внутренних точек (Рис.2), для точек около линии стыка и на линии стыка.

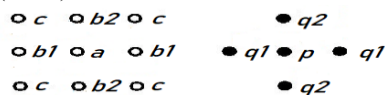


Рис.2 Шаблоны квадрат-крест для внутренних точек сетки. Слева для решения u , справа – для правой части f . Тестовые: $u_{ij} = x^{2i} y^{2j}$, $2i + 2j \leq 4$, $\kappa_A = 9$, $\kappa_P = 5$

Результаты. Таким образом, точность на тестовых мономах u_k обеспечивает 3-й порядок схемы. Для других типов точек и набор тестовых функций другой.

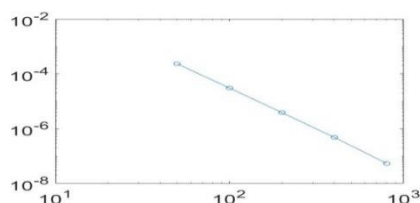


Рис.3. Погрешность решения в лог-шкале. Правая часть $f = \mathcal{A}(x, y) x \sin(\frac{2\pi y}{L_y})$. Порядок схемы $\approx \log_2(10)$.

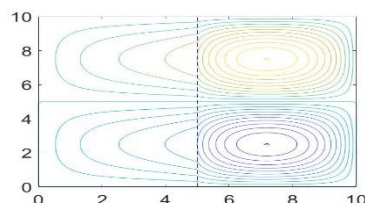


Рис.4. Изолинии решения при $\frac{\mathcal{A}_-}{\mathcal{A}_+} = 5$. Линия Γ -пунктир.

Заключение. Получена схема высокого порядка точности для ур. Пуассона с разрывным коэффициентом. Экстраполяция Ричардсона увеличивает порядок до 4,8

Литература. [1] Гордин В.А., Цымбалов Е.А. Компактная разностная схема для дифференциального уравнения с кусочно-постоянным коэффициентом. Матем. моделирование. 2017, т.29 (12), СС.16-28.

[2] Гордин В.А. Математика, компьютер, прогноз погоды и другие сценарии математической физики – 2-е изд.- М.:ФИЗМАТЛИТ, 2013, 628с.

Работа поддержана грантом № 20-04-021 в рамках Программы «Научный фонд Национального исследовательского университета «Высшая школа экономики» (НИУ ВШЭ)» в 2018 - 2019 гг. и в рамках государственной поддержки ведущих университетов Российской Федерации «5-100».